

بررسی اثر ۵-آزاسیتیدین به عنوان ماده ضدمتیلاسیون DNA بر روی صفات زراعی، القای آندروژن از طریق کشت بساک و بیان ژن DNA متیل‌ترانسفراز در بافت برگی ذرت (*Zea mays L.*)

راضیه عزیزان مصلح^۱، محمد رضا عبدالله^{۲*}، پیام پورمحمدی^۳، حسن ساریخانی^۴ و اصغر میرزاوی اصل^۰

- ۱- دانشجوی دکتری، گروه زراعت و اصلاح نباتات، دانشکده کشاورزی، دانشگاه بوعالی سینا، همدان
- ۲- دانشیار، گروه زراعت و اصلاح نباتات، دانشکده کشاورزی، دانشگاه بوعالی سینا، همدان
- ۳- استادیار، گروه تولید و ژنتیک گیاهی، دانشکده کشاورزی، دانشگاه علوم کشاورزی و منابع طبیعی خوزستان، اهواز
- ۴- دانشیار، گروه علوم باگبانی، دانشکده کشاورزی، دانشگاه بوعالی سینا، همدان
- ۵- دانشیار، گروه بیوتکنولوژی کشاورزی، دانشکده کشاورزی، دانشگاه بوعالی سینا، همدان

(تاریخ دریافت: ۱۳۹۹/۱۰/۰۲ - تاریخ پذیرش: ۱۳۹۹/۱۲/۱۷)

چکیده

بهینه‌سازی روش‌های درون شیشه‌ای برای تولید گیاهان دابل‌هاپلوبیتد ذرت نقش مهمی در برنامه‌های اصلاحی این گیاه دارد. در این مطالعه اثرات ماده ۵-آزاسیتیدین بر روی صفات زراعی، کارایی القای آندروژن و همچنین بیان ژن DNA متیل‌ترانسفراز (AF229183.1) در دو مرحله رشدی ذرت شامل مرحله ۷ تا ۸ برگی و مرحله گلده‌ی مورد بررسی قرار گرفت. آزمایش به صورت فاکتوریل در قالب طرح بلوک‌های کامل تصادفی در سه تکرار اجرا شد. دو ژنوتیپ ذرت (ETMH-82 × DH5) و (DH7 × DH5) به عنوان عامل اول و تیمار بذور ذرت با ۵-آزاسیتیدین (۰، ۵، ۱۰ و ۱۰۰ میکرومولار) به عنوان عامل دوم در نظر گرفته شدند. بذور تیمار شده در مزرعه کشت گردیده و در طول مراحل رشد، صفات مختلف مورفو‌لولوژیکی و زراعی اندازه‌گیری شدند. در آزمایش کشت بساک، بساک‌های حاوی میکروسپورهایی در مراحل تک‌هسته‌ای میانی تا تک‌هسته‌ای انتهایی انتخاب و در محیط کشت پایه YPm حاوی ۱ میلی‌گرم در لیتر D-4, ۲ میلی‌گرم در لیتر BAP کشت گردیدند. اثرات متقابل ژنوتیپ × سطوح ۵-آزاسیتیدین برای همه صفات مورد مطالعه به جز تعداد دانه در ردیف بلال، عمق دانه، قطر بوته، تعداد برگ در بوته و تعداد بلال اختلاف معنی‌داری را نشان دادند. بیشترین میزان وزن هزار دانه در تیمارهای ۱۰ و ۱۰۰ میکرومولار و همچنین بیشترین عملکرد دانه و عملکرد بیولوژیک در تیمار ۱۰۰ میکرومولار ۵-آزاسیتیدین برای هر دو ژنوتیپ مشاهده شد. بذور ژنوتیپ DH5 × DH7 تیمار شده با غلظت ۵ میکرومولار ۵-آزاسیتیدین بیشترین میانگین تعداد ساختارهای رویان مانند (۰/۱۸۳۳) و گیاهچه بازیابی شده (۰/۰۶۷) به ازای هر بساک را ایجاد کردند. بیان نسبی ژن DNA متیل‌ترانسفراز در گیاهان حاصل از بذور تیمار شده با غلظت‌های مختلف ۵-آزاسیتیدین در هر دو ژنوتیپ و هر دو مرحله رشدی مورد مطالعه نسبت به گیاهان شاهد (غلظت صفر میکرومولار ۵-آزاسیتیدین) کاهش معنی‌داری نشان داد که این کاهش بیان ژن می‌تواند منجر به بهبود القای آندروژن در کشت بساک ژنوتیپ DH5 × DH7 شده باشد. بهر حال، علی‌رغم کاهش بیان این ژن در دو مرحله رشدی ژنوتیپ ETMH-82، القای آندروژن در این ژنوتیپ مشاهده نگردید. نتایج تحقیق حاضر می‌تواند به تعیین نقش عوامل اپی‌ژنتیکی در القاء آندروژن و بهبود تولید گیاهان هاپلوبیتد در ذرت کمک کند.

واژگان کلیدی: آندروژن، ۵-آزاسیتیدین، DNA متیل‌ترانسفراز، ذرت، کشت بساک، گیاه هاپلوبیتد

* نویسنده مسئول، آدرس پست الکترونیکی: m.abdollahi@basu.ac.ir

ذرت تا حد زیادی به پاسخ آندروژنی ژنوتیپ‌ها بستگی دارد و تولید هاپلوبئیدها از طریق کشت بساک و میکروسپورهای ایزووله بهدلیل واپستگی شدید آن به ژنوتیپ Barloy and و میزان پاسخ پایین آن، محدود شده است (Beckert, 1993; Ismaili and Pour Mohammadi, 2016). برنامه‌ریزی مجدد سلول‌های گیاهی القاء شده توسط تنش‌های مختلف جهت کسب خاصیت توتوی پوتنسی، به سرکوب یا فعال شدن تعداد زیادی از ژن‌های مرتبط با برنامه جدید رشد و نمو و همچنین تغییراتی در سازمان دهی کل ژنوم بستگی دارد (Finnegan *et al.*, 2000). یکی از عواملی که در تنظیم برنامه‌های بیان ژن در ژنوم نقش دارند، عوامل اپیژنتیکی می‌باشند (Kohler and Villar, 2008). اپیژنتیک، تغییرات برگشت‌پذیر ارثی در بیان ژن می‌باشند که توسط محرك‌های محیطی القای می‌شوند. در گیاهان، وجود عوامل اپیژنتیکی بر بیان ژن‌های مختلف تأثیر می‌گذارد و گاهی می‌تواند موجب سازگاری به شرایط محیطی مختلف گردد. از جمله مکانیسم‌های مؤثر در تغییرات اپیژنتیک، متیلاسیون DNA، تغییرات هیستونی و RNA‌های غیرکدکننده می‌باشند (Chuang and Jones, 2007; Heo *et al.*, 2013; Baulcombe and Dean, 2014).

متیلاسیون DNA که توسط DNA متیل‌ترانسفراز انجام می‌گردد، یک تغییر غالب اپیژنتیکی در کروماتین است که با خاموش کردن ژن همراه است. این علامت اپیژنتیکی در طی فرآیندهای تمایز و تکثیر سلول‌های گیاهی تغییر می‌کند و بیان ژن را تنظیم می‌کند (Meijón *et al.*, 2010). تغییر الگوی متیلاسیون DNA و بهدلیل آن تغییر بیان ژن‌ها، می‌تواند منجر به تولید گیاهانی با خصوصیات زراعی بهبود یافته گردد (Meijón *et al.*, 2010). در سال‌های اخیر، تحقیقات زیادی نشان داده‌اند که فرآیندهای کشت‌بافتی مانند باززایی گیاهان در شرایط درون شیشه‌ای و رویان‌زایی سوماتیکی به شدت توسط مکانیسم‌های اپیژنتیکی تنظیم می‌گردند (Osorio-Montalvo *et al.*, 2018). همچنین محققین در گونه‌های گیاهی مختلف مانند کلزا El-Tantawy *et al.*, 2013) و جو (Testillano *et al.*, 2013)

مقدمه

با توجه به جمعیت بالغ بر هفت میلیارد نفری جهان، نیاز به غذا و انرژی به یک مشکل اساسی تبدیل شده است. جمعیت جهان به مواد غذایی سالم‌تر و ایمن‌تری نیاز دارد و یکی از راه‌کارهای نیل به این هدف، بهبود عملکرد و کیفیت محصولات زراعی می‌باشد. کشت‌بافت گیاهی مجموعه‌ای از روش‌های بیوتکنولوژی برای ایجاد، نگهداری و تکثیر سلول‌ها، بافت‌ها، اندام‌ها و حتی گیاهان كامل در شرایط کنترل شده است تا در مدت‌زمان کوتاه‌تر از روش‌های معمول، گیاهان بیشتری با صفات بهبود یافته تولید کنند. یکی از این روش‌های کشت‌بافتی که اجازه دسترسی سریع به لاین‌های خالص در گیاهان را می‌دهد و منجر به کاهش چشمگیر مدت‌زمان برنامه‌های اصلاحی تولید بذر هیبرید در گیاهان دگرگشن می‌گردد، تولید درون شیشه‌ای گیاهان هاپلوبئید می‌باشد. روش‌های متعددی جهت تولید گیاهان هاپلوبئید و بهدلیل آن تولید گیاهان دابل‌هاپلوبئید وجود دارد. یکی از این روش‌ها آندروژنر می‌باشد که خود شامل دو روش کشت بساک و کشت میکروسپور می‌باشد (Shugar, 1998). کشت بساک در گیاهان مختلف استفاده شده است. در این روش بساک‌های دارای میکروسپورهای نابالغ روی محیط غذایی مصنوعی کشت می‌شوند و در نهایت منجر به کالوس‌زایی یا جنین‌زایی می‌گردد که با باززایی گیاه از آن‌ها می‌توان به گیاه هاپلوبئید دست یافت (Touraev *et al.*, 2009).

پتانسیل گیاهان دابل‌هاپلوبئید (DH) در تولید ارقام هیبرید ذرت از مدت‌ها قبل شناخته شده است. با استفاده از تکنیک‌های تولید گیاهان دابل‌هاپلوبئید می‌توان ترکیب‌های مختلف ژن را در مدت‌زمان کوتاهی به صورت هموزیگوت ثبت کرد. علاوه‌بر این، لاین‌های دابل‌هاپلوبئید دارای باروری بالا و صفات زراعی مطلوب می‌باشند که می‌توانند به طور مستقیم در اصلاح هیبریدها در ذرت و یا سایر گیاهان دگرگشن استفاده شوند تا هیبریدهای جدیدی را تولید کنند که تقاضای بازار را برآورده می‌کنند (Munsamy *et al.*, 2013).

با این حال، موفقیت تکنیک‌های کشت بساک در

عملیات آماده‌سازی زمین شامل شخم سطحی، دیسک و لولر انجام شد و به مقدار ۷۰ کیلوگرم کود فسفر و ۵۰ کیلوگرم کود پتاسیم قبل از کشت مورد استفاده قرار گرفت. هر کرت شامل ۳ خط به طول ۶ متر، با فاصله ردیف ۷۵ سانتی‌متر در نظر گرفته شد. همچنین بین بلوک‌ها ۱/۵ متر فاصله در نظر گرفته شد.

روش پیش‌تیمار بذور با ۵-آزاسیتیدین: به منظور پیش‌تیمار بذور، دو ژنوتیپ ذرت با ماده ۵-آزاسیتیدین (شرکت سیگما)، ابتدا ۲/۴۴ میلی‌گرم از ماده مذکور در ۱۰ میلی‌لیتر آب مقطر حل گردید و با رساندن حجم آن به ۱۰۰ میلی‌لیتر، محلول مادری با غلظت ۱۰۰ میکرومولار به دست آمد. برای مرحله پیش‌تیمار، بذور دو ژنوتیپ ذرت پس از شستشوی سطحی با آب مقطر، در ظروف پتربی‌دیش حاوی غلظت‌های مختلف ماده ۵-آزاسیتیدین در داخل یخچال با دمای ۴ درجه سانتی‌گراد و تاریکی به مدت ۷۲ ساعت قرار گرفتند و سپس جهت کشت به زمین زراعی منتقل شدند. بذور شاهد به مدت ۷۲ ساعت با آب مقطر پیش‌تیمار شدند.

صفات مطالعه شده در آزمایش مزرعه‌ای: به منظور بررسی اثر پیش‌تیمار بذور با غلظت‌های مختلف ۵-آزاسیتیدین بر روی رشد و عملکرد دو ژنوتیپ ذرت مورد مطالعه، صفات مختلف زراعی و مورفو‌لوزیک (شامل: ارتفاع بوته، ارتفاع از سطح خاک تا اولین بلال، قطر بوته، تعداد برگ در بوته، تعداد پنجه، تعداد بلال، تعداد ردیف دانه در بلال، تعداد دانه در هر ردیف بلال، قطر بلال، قطر چوب بلال، عمق دانه، وزن هزار دانه، عملکلرود بیولوژیک، عملکرد دانه، شاخص برداشت دانه بلال در بوته و درصد چوب بلال) اندازه‌گیری شدند. برای اندازه‌گیری صفات مذکور، در هر واحد آزمایشی ۴ بوته ذرت به صورت تصادفی انتخاب گردید. پس از جمع‌آوری داده‌ها، تجزیه‌های آماری لازم با استفاده از نرم‌افزارهای SAS و SPSS انجام شد. برای مقایسه میانگین‌ها از آزمون دانکن در سطح احتمال ۵ درصد استفاده شد.

(2013) نشان داده‌اند که تغییرات در متیلاسیون DNA کل ژنوم، با تغییر در برنامه رشد و نموی میکروسپور یا سلول سوماتیکی به سمت جنین‌زایی همراه بوده است که این یافته‌ها نشان می‌دهد که یک برنامه‌ریزی مجدد اپی‌ژنتیکی پس از القای میکروسپور به یک حالت توئی‌پوتنت و شروع جنین‌زایی وجود دارد. این برنامه‌ریزی مجدد اپی‌ژنتیکی شامل کاهش متیلاسیون DNA در کل ژنوم است که با فعال شدن تکثیر سلولی همراه است در حالی که افزایش الگوی متیلاسیون Testillano *et al.*, 2013 ۵-آزاسیتیدین (5-Azacytidine) به عنوان آنالوگ ۵-سیتوزین، فعالیت DNA متیل‌ترانسفرازی و فعالیت آنزیم هیستون متیل‌ترانسفراز را در سلول‌های یوکاریوتی مهار کرده و منجر به هیپومتیلاسیون DNA ژنومی و هیستون می‌شود (Friedman, 1981; Berenguer *et al.*, 2017) به عنوان ماده دمتیله کننده در چندین گیاه استفاده شده و محدوده وسیعی از اثرات روی رشد و نمو را بسته به غلظت و زمان مورد استفاده نشان داده است (Pecinka and Liu, 2014; Teyssier *et al.*, 2014؛ بنابراین در تحقیق حاضر اثر پیش‌تیمار بذور دو رقم ذرت با غلظت‌های مختلف ۵-آزاسیتیدین روی صفات رشدی، القای آندروژن از طریق کشت بساک و همچنین بیان ژن DNA متیل‌ترانسفراز در دو مرحله رشدی مختلف مورد بررسی قرار گرفت.

مواد و روش‌ها

مواد گیاهی و شرایط آزمایش: این آزمایش در سال زراعی ۱۳۹۷-۱۳۹۸ در مزرعه تحقیقاتی دانشکده کشاورزی دانشگاه بوعلی سینا اجرا شد. آزمایش به صورت فاکتوریل در قالب طرح بلوک‌های کامل تصادفی در سه تکرار اجرا شد که در آن فاکتور اول دو ژنوتیپ ذرت DH5 × DH7 و ETMH-82 بود و تیمار بذور ذرت با غلظت‌های مختلف ماده ضدمتیلاسیون ۵-آزاسیتیدین (۰، ۵، ۱۰ و ۱۰۰ میکرومولار) به عنوان فاکتور دوم در نظر گرفته شد. لازم به ذکر است که دو ژنوتیپ انتخاب شده، پاسخ مطلوبی به القاء آندروژن از طریق کشت بساک در مطالعات قبلی نشان داده‌اند (Ismaili and Pour Mohammadi, 2016).

شده در مزرعه برداشت شده و بلافاصله در ازت مایع قرار گرفتند. سپس، نمونه‌ها به فریزر ۸۰-درجه سانتی گراد منتقل شدند. استخراج RNA به وسیله کیت RNX-plus از نمونه‌های پودر شده برگ در ازت مایع طبق دستورالعمل شرکت سیناکلون صورت گرفت. تعیین غلظت و کیفیت نمونه‌های RNA با استفاده از اسپکتروفتومتر Nano Drop (Nano Drop, Thermo Scientific) ۲۰۰۰ نهایت نمونه‌های RNA با نسبت A260/A280 بین ۱/۹-۲/۱ و نسبت A260/A230 بیشتر از ۲ برای تحلیل‌های بیشتر مورد استفاده قرار گرفتند. بهمنظور خالص‌سازی RNAهای استخراج شده با استفاده از آنزیم DNase I طبق دستورالعمل شرکت سازنده (GeneAll) مورد تیمار قرار گرفتند. ساخت cDNA با کیت سنتز cDNA (شرکت سیناکلون) انجام شد و سپس کیمیت و کیفیت آن‌ها با استفاده از دستگاه نانودرایپ و الکتروفورز ژل آکارز مورد بررسی (PCR) قرار گرفت. بعد از انجام واکنش زنجیره‌ای پلی‌مراز (PCR) برای ژن DNA متیل‌ترانسفراز (AF229183.1) با دستگاه ترموسایکلر (شرکت اپندروف، آلمان)، محصولات واکنش PCR روی ژل آکارز ۱ درصد بارگذاری گردیدند و با استفاده از دستگاه الکتروفورز شرکت بایورد (BioRAD) الکتروفورز شدند.

طراحی آغازگر و واکنش Real-time PCR: طراحی آغازگر از توالی mRNA مربوط به یک ژن AF229183.1 متیل‌ترانسفراز ذرت با شماره دستیابی (NCBI) انجام گردید. آغازگرها از نظر محل اتصال و ویژگی‌های مطلوب توسط نرمافزارهای v.7 AllelID و Primer3 آنالیز شدند. سپس از اختصاصی بودن محل جفت شدن آغازگرها توسط سرویس BLAST در سایت NCBI اطمینان حاصل شد (جدول ۱). برای آزمایش Real-time PCR، مخلوط ۱۰ میکرولیتری واکنش شامل ۰/۳ میکرولیتر از هر یک از آغازگرهای اختصاصی مستقیم و معکوس با غلظت ۱۰ میکرومولار، ۵ میکرولیتر Master mix (شرکت سیناکلون) و ۲ میکرولیتر نمونه cDNA (با غلظت ۵۰ نانوگرم

آزمایش کشت بساک ذرت در شرایط درون شیشه‌ای: بهمنظور بررسی اثر ماده ضد متیلاسیون ۵-آزاسیتیدین بر میزان القای آندروژن از طریق کشت بساک، گل‌های نر ذرت در مرحله‌ای که بساک‌های آن‌ها حاوی میکروسپورهایی در مرحله تک‌هسته‌ای میانی تا تک‌هسته‌ای انتهایی بودند، انتخاب شدند (Aulinger, 2002; Nageli *et al.*, 1999) و از گیاهان شاهد و گیاهان حاصل از بذور پیش‌تیمار شده با غلظت‌های مختلف ۵-آزاسیتیدین در شرایط مزرعه برداشت شدند. در این تحقیق، تعیین مرحله رشد و نموی مناسب میکروسپورها (مرحله تک‌هسته‌ای میانی تا تک‌هسته‌ای انتهایی) در دو ژنوتیپ ذرت توسط رنگ‌آمیزی به روش استوکارمن ۲ درصد و سپس استفاده از میکروسکوپ نوری با بزرگنمایی ۴۰ برابر انجام شد. بهمنظور اعمال پیش‌تیمار سرمایی روی بساک‌ها قبل از کشت، گل‌آذین‌های نر در داخل دستمال کاغذی مرتبط قرار گرفتند و سپس در داخل فویل آلومینیومی پیچیده شدند و به مدت ۲ هفته به یخچال با دمای ۸ درجه سانتی گراد منتقل شدند (Biter, 1997). پس از اعمال پیش‌تیمار سرمایی، گل‌های نر با استفاده از محلول هیپوکلریت سدیم ۲/۵ درصد به مدت ۱۰ دقیقه و سپس ۳ مرتبه ۵ دقیقه‌ای شست و شو با آب مقطر استریل شدند. پس از انجام ضدغونی گل‌های نر، ریزنمونه‌های بساک، در شرایط استریل از گلچه‌ها جدا شدند و در پتری دیش‌های ۸ سانتی‌متری حاوی محیط کشت پایه YPM حاوی مقدار ۱ میلی‌گرم در لیتر ۲,۴-D همراه با ۲ میلی‌گرم در لیتر BAP قرار داده شدند و سپس به اتاق رشد با دمای ۲۷ سانتی گراد و تاریکی مطلق به مدت یک ماه منتقل شدند. شبه جنبی‌های ایجاد شده جهت تولید گیاهچه به محیط بازیابی MS بدون هورمون با pH ۵/۸ برابر ۵/۸ منتقل شدند.

استخراج RNA و سنتز cDNA: جهت بررسی میزان بیان ژن DNA متیل‌ترانسفراز تحت تیمارهای ماده ۵-آزاسیتیدین، ابتدا نمونه‌های برگی از هر تیمار آزمایشی در دو مرحله رشدی مختلف (مرحله ۷ الی ۸ برگی و مرحله برداشت گل‌های نر برای آزمایش کشت بساک) از گیاهان ذرت کشت

ETMH-82 مشاهده گردید (جدول ۳). برای صفت ارتفاع تشکیل بال از سطح زمین دو ژنوتیپ ذرت و اثرات متقابل ژنوتیپ در غلاظت ۵-آزاسیتیدین اختلاف معنی‌داری در سطح DH5 احتمال یک درصد نشان دادند (جدول ۲). در ژنوتیپ DH5 × بیشترین مقدار ارتفاع تشکیل بال از سطح زمین در غلاظت ۵ میکرومولا ۵-آزاسیتیدین مشاهده گردید در حالی که در ژنوتیپ ETMH-82 بیشترین ارتفاع تشکیل بال از سطح زمین مربوط به غلاظت ۱۰۰ میکرومولا ۵-آزاسیتیدین بود (جدول ۳). نتایج تجزیه واریانس دو صفت قطر بال از قدر چوب بال از نشان داد که اثر غلاظت ۵-آزاسیتیدین و اثر متقابل ژنوتیپ × غلاظت ۵-آزاسیتیدین در سطح احتمال ۵ درصد معنی‌دار بودند. مقایسه میانگین‌های اثرات متقابل ژنوتیپ × غلاظت ۵-آزاسیتیدین (جدول ۳) نشان داد که با افزایش سطح ۵-آزاسیتیدین، قطر بال از قطر چوب بال در ژنوتیپ DH5 × DH5 در غلاظت‌های ۱۰ و ۱۰۰ میکرومولا افزایش پیدا کرد در حالی که در ژنوتیپ ETMH-82 در سطح ۵ میکرومولا، این دو صفت کمترین میزان را نشان دادند. در حالی که غلاظت‌های دیگر ۵-آزاسیتیدین اختلاف چندانی با شاهد برای این دو صفت نشان ندادند (جدول ۳). برای صفت تعداد ردیف دانه در بال، نتایج تجزیه واریانس نشان داد که اثر ژنوتیپ در سطح ۵ درصد و اثر غلاظت ۵-آزاسیتیدین و اثرات متقابل ژنوتیپ × غلاظت ۵-آزاسیتیدین بر این صفت در سطح احتمال ۱ درصد معنی‌دار بودند (جدول ۲).

در میکرولیتر) بود. پس از آماده نمودن مخلوط واکنش، میکروتیوب‌های حاوی هر واکنش به دستگاه ترموسایکلر منتقل شدند. این واکنش طبق دستورالعمل دمایی: ۹۵ درجه سانتی گراد به مدت ۷ دقیقه برای واسرشت‌سازی اولیه، ۴۰ چرخه (۹۵ درجه سانتی گراد به مدت ۱۵ ثانیه (دمای واسرشت‌سازی)، ۵۶ درجه سانتی گراد به مدت ۱۵ ثانیه (دمای آغازگر)، ۷۲ درجه سانتی گراد به مدت ۱۵ ثانیه) و تکثیر نهایی به مدت ۷ دقیقه انجام شد. در این پژوهش، برای بررسی بیان نسبی ژن‌ها از سه تکرار تکنیکی و سه تکرار بیولوژیکی استفاده گردید و بیان نسبی ژن‌ها با روش pfaffl محاسبه شد (Qian et al., 2002). از ژن خانه دار اکتین (Pfaffl et al., 2002) (2014) ذرت به عنوان استاندارد داخلی، جهت نرمال کردن Ct‌ها و سنجش بیان ژن استفاده شد. مشخصات آغازگرهای مورد بررسی در جدول ۱ نشان داده شده است.

نتایج و بحث

نتایج بررسی صفات مورفولوژیک در آزمایش مزرعه‌ای: نتایج تجزیه واریانس مربوط به صفت ارتفاع بوته (جدول ۲) نشان داد که غلاظت‌های مختلف ۵-آزاسیتیدین، دو ژنوتیپ مورد استفاده و اثر متقابل آن‌ها در سطح احتمال ۱ درصد اختلاف معنی‌داری داشتند. در ژنوتیپ DH5 × DH5 با افزایش غلاظت ۵-آزاسیتیدین، ارتفاع گیاه افزایش یافت در حالی که در ژنوتیپ ETMH-82 این روند معکوس بود. بیشترین ارتفاع بوته در غلاظت ۱۰۰ میکرومولا برای ژنوتیپ DH5 × DH7 و در غلاظت ۵ میکرومولا و گیاهان شاهد برای ژنوتیپ

جدول ۱- مشخصات آغازگرهای مورد استفاده در واکنش Real time PCR

Table 1. Basic information of Real time PCR primers

| ژن Gene | دماي اتصال (سانتي گراد) Annealing temperature (°C) | اندازه محصول (جفت‌باز) Product size (bp) | شماره دستيابي Accession number |
|----------------------------|---|---|--|
| | | | توالى آغازگر (۵'-۳') Primer sequence (5'-3') |
| DNA methyltransferase gene | 56 | 154bp | F: 5'CAGGGATTCTCTGGGATGAA3' R: 5'GCCCTTTGTTGAAGGAAACA3' |
| Actin | 57 | 128bp | F: 5'CCACACCGTCCCTATCTAC3' R: 5'TCGTAGTGAAGGAGTAACCC3' |

جدول ۲- تحریره و اریانس مربوط به صفات مرغوزنگ و علکردی دو زنگیب زرت پیش تیمار شده با گافنت های مختلف ۵- آزاسیتیدین

Table 2. Analysis of variance for morphological and yield traits of two Maize genotypes pretreated with different concentrations of 5-azacytidine

| متغیر | متغیر | میانگین معادلات | | | | | | | | | | Means of square | | | | | | | | | |
|-------------------------|------------------------------|-----------------|--------|----------|---------|----------|--------|--------|-------|-----------|------------|-----------------|----------|----------|-------|-------|--------|-------|--|--|--|
| | | df | PH | EH | RNE | KNR | ED | CD | KD | 1000-KW | BY | GY | HI | ECP | PD | LN | TN | EN | | | |
| بلک | بلک | 2 | 95.54 | 2.59 | 12.6 | 2.81 | 0.248 | 0.86 | 0.182 | 20.58 | 117.5 | 34.94 | 25.38 | 51.52 | 0.019 | 1.54 | 0.015 | 0.074 | | | |
| زنگیب | زنگیب | 1 | 3290** | 882.29** | 320.4* | 869.21** | 0.049 | 0.15 | 0.028 | 2001.81** | 1043.46 | 445.96** | 92.55* | 146.02* | 1.55 | 0.37 | 0.286* | 0.4 | | | |
| Genotype | Genotype | 3 | 3305** | 10.11 | 343.6** | 61.05** | 0.493* | 0.555* | 0.026 | 1022.65** | 5663.630** | 590.1** | 93.59** | 546.95** | 1.90* | 4.15* | 0.154 | 0.28 | | | |
| 5-آزاسیتیدین | زنگیب × 5-آزاسیتیدین | 3 | 230* | 497.41** | 273.4** | 11.66 | 0.475* | 0.504* | 0.11 | 280.57** | 2278.21* | 1147.44** | 236.24** | 911.13** | 0.64 | 0.49 | 0.34** | 0.097 | | | |
| Genotype × 5-آزاسیتیدین | خالی آزمایشی | 14 | 23.03 | 17.62 | 9.37 | 9.54 | 0.135 | 0.099 | 0.079 | 8.61 | 596.96 | 30.98 | 11.42 | 21.21 | 0.51 | 1.11 | 0.052 | 0.154 | | | |
| Error | ضریب تغییرات (درصد) | | 4.34 | 23.5 | 9.18 | 10.9 | 12.95 | 16 | 32 | 10 | 10.8 | 14.9 | 19.7 | 19.2 | 17.4 | 9.9 | 24.3 | 27.2 | | | |
| | Coefficient of Variation (%) | | | | | | | | | | | | | | | | | | | | |

* و **: بهترین معنی دار در مطابق احتمال ۵ و ۱ درصد

* and **: Significant at 5% and 1% levels of probability, respectively

GY: Grain yield; BY: Biological yield; RNE: Row number/ear; KNR: Kernel number/ear; ED: Ear diameter; KD: Kernel depth; 1000-KW: 1000 Kernel weight; BY: Biological yield; GY: Grain yield; HI: Harvest index; ECP: Ear Cop index; PD: Plant diameter; LN: Leaf diameter; TN: Tillage number; EN: Ear Number.

عکسر داده: HI: تاخصی برداشت بزرگ؛ PD: تعداد ریشه؛ LN: تعداد ریشه؛ EN: تعداد بذل؛ ED: درجه حریق بذل؛ KNR: تعداد دارندگان بذل؛ KN/R: تعداد دارندگان بذل؛ CD: نظریه حریق بذل؛

جدول ۳- مقایسه میانگین اثرات مشابل ژنوتیپ و غلظت ۵-ازا سیتیدین بر روی صفات راجع مورد مطالعه در ذرت
Table 3. Mean comparison of genotype and 5-azacytidine interactions for agronomic traits in maize

| Genotype | 5-آزاسیتیدین (میکرومول) | ژنوتیپ (سائی متر) | ارتفاع (سانتی متر) | ارتفاع بلال | تمثیل داده بلال | تمثیل داده بلال | وزن هزار گرم | فطر چرب | فطر بلال | تمثیل داده بلال | وزن هزار گرم بر بوته | تمثیل داده بلال | تمثیل داده بلال | وزن هزار گرم بر بوته | تمثیل داده بلال | تمثیل داده بلال | برداشت بوته (%) | برداشت بلال (%) | درصد چرب | مقدار چرب | تعداد بلال | تعداد بلال | تعداد بوته (%) | تعداد بلال (%) | تعداد بوته (%) | تعداد بلال (%) | تعداد بوته (%) | |
|-----------|----------------------------|----------------------|-----------------------|----------------|--------------------|--------------------|-----------------|----------|----------|--------------------|-------------------------|--------------------|--------------------|-------------------------|--------------------|--------------------|--------------------|--------------------|-------------|--------------|---------------|---------------|-------------------|-------------------|-------------------|-------------------|-------------------|--|
| | | | | | | | | | | | | | | | | | | | | | | | | | | | | |
| DHS × DH7 | 0 | 95.33 bc | 49.87 b | 23.24 c | 20.53 d | 2.53 bc | 1.72 bc | 19.73 d | 132.1 d | 27.24 c | 20.81 bc | 21.05 cd | 4.50 a | 7.00 ab | 0 c | | | | | | | | | | | | | |
| | 5 | 109 ab | 60.44 a | 23.67 c | 19.78 d | 2.67 bc | 1.88 ab | 27.00 bc | 201.9 c | 58.01 a | 28.88 a | 31.11 b | 4.50 a | 6.67 ab | 0.33 bc | | | | | | | | | | | | | |
| | 10 | 117 ab | 42.28 c | 26.23 c | 24.89 cd | 2.96 ab | 1.87 ab | 55.81 a | 255.9 b | 30.05 bc | 11.83 de | 19.75 cd | 4.33 a | 6.33 b | 1.33 a | | | | | | | | | | | | | |
| ETMH-82 | 100 | 127 a | 44.58 bc | 45.63 a | 26.32 c | 3.02 ab | 2.10 ab | 51.35 a | 340.8 a | 50.63 a | 14.89 cd | 14.30 d | 4.00 a | 7.67 ab | 1.33 a | | | | | | | | | | | | | |
| | 0 | 122 a | 39.00 c | 39.67 b | 33.33 b | 3.38 a | 2.40 a | 21.35 cd | 128.7 d | 31.07 bc | 24.16 ab | 55.15 a | 4.50 a | 7.33 ab | 0 c | | | | | | | | | | | | | |
| | 5 | 121 a | 29.33 d | 24.00 c | 33.00 b | 2.17 c | 1.22 c | 4.57 e | 131.2 d | 8.18 d | 6.23 e | 5.00 e | 4.40 a | 6.33 b | 1.00 ab | | | | | | | | | | | | | |
| PH | 10 | 86.33 bc | 45.00 bc | 46.83 a | 32.83 b | 2.89 ab | 2.13 ab | 26.15 bc | 267.1 b | 39.58 b | 14.99 cd | 23.83 bc | 3.83 a | 6.33 b | 0 c | | | | | | | | | | | | | |
| | 100 | 66 c | 42.33 c | 37.5 b | 40.50 a | 3.09 ab | 2.46 a | 28.75 b | 351.9 a | 52.61 a | 15.30 cd | 21.97 cd | 2.57 b | 8.67 a | 0 c | | | | | | | | | | | | | |

میانگین‌های دارای صروف شایه در آزمون دانکن معنی‌داری با هم ندارند

Means followed by similar letter(s) are not significantly different by Duncan test

HI: Harvest index; EH: Ear height; RNE: Row number/ear; KNR: Kernel number/ear; ED: Ear diameter; CD: Cob diameter; KW: 1000 Kernel weight; BY: Biological yield; GY: Grain yield; ED: Ear Cop number; ECP: Ear Cop percentage; PD: Plant diameter; LN: Leaf number; TN: Tillage number

PH: Plant height; EH: Ear height; RNE: Row number/ear; KNR: Kernel number/ear; ED: Ear diameter; CD: Cob diameter; KW: 1000 Kernel weight; BY: Biological yield; GY: Grain yield; ED: Ear Cop number; ECP: Ear Cop percentage; PD: Plant diameter; LN: Leaf number; TN: Tillage number

شاخه برداشت بوته؛ درصد چرب؛ تعداد بلال؛ تعداد بوته؛ تعداد چرب؛ تعداد پرداخت بوته؛ تعداد پرداخت بلال؛ تعداد پرداخت بوته؛ تعداد پرداخت بلال

است (جدول ۳). همچنین بیشترین شاخص برداشت بوته و درصد چوب بالل از غلاظت ۵ میکرومولار ۵-آزاسیتیدین در ژنوتیپ $DH5 \times DH7$ و شاهد در ژنوتیپ ETMH-82 به دست آمد (جدول ۳). برای صفت قطر بوته، دو ژنوتیپ ذرت و اثرات متقابل ژنوتیپ در غلاظت ۵-آزاسیتیدین اختلاف معنی دار آماری نشان ندادند و فقط غلاظت های مختلف ۵-آزاسیتیدین اختلاف معنی دار آماری در سطح ۵ درصد نشان دادند. علی رغم عدم اختلاف معنی دار آماری بین اثرات متقابل، مقایسه میانگین آنها با روش دانکن گروه بندی متفاوتی را بین میانگین ها نشان داد به طوری که به غیر از غلاظت ۱۰۰ میکرومولار ۵-آزاسیتیدین در ژنوتیپ ETMH-82 که کمترین میزان قطر بوته را ایجاد کرد، سایر تیمارها بدون اختلاف معنی دار آماری بیشترین مقدار قطر بوته را ایجاد کردند (جدول ۳). برای صفت تعداد برگ در بوته، دو ژنوتیپ ذرت و اثرات متقابل ژنوتیپ در غلاظت ۵-آزاسیتیدین اختلاف معنی دار آماری نشان ندادند (جدول ۲). در حالی که غلاظت های مختلف ۵-آزاسیتیدین اختلاف معنی داری در سطح ۵ درصد برای این صفت نشان دادند (جدول ۲). مقایسه میانگین اثرات متقابل برای صفت تعداد برگ در بوته نشان داد که غلاظت ۱۰۰ میکرومولار ۵-آزاسیتیدین در رقم ETMH-82 منجر به ایجاد بیشترین تعداد برگ در مقایسه با سایر تیمارها گردیده است (جدول ۳). برای صفت تعداد پنجه، دو ژنوتیپ مورد استفاده در سطح ۵ درصد و اثرات متقابل ژنوتیپ و غلاظت ۵-آزاسیتیدین در سطح ۱ درصد اختلاف معنی داری نشان ندادند ولی غلاظت های مختلف ۵-آزاسیتیدین تفاوت معنی داری برای صفت تعداد پنجه نشان ندادند (جدول ۲). مقایسه میانگین اثرات متقابل نشان داد که استفاده از غلاظت های ۱۰ و ۱۰۰ میکرومولار ۵-آزاسیتیدین در ژنوتیپ $DH5 \times DH7$ و ۵ میکرومولار در ژنوتیپ ETMH-82 بیشترین تعداد پنجه را در مقایسه با شاهد ایجاد کردند (جدول ۳). دو ژنوتیپ مورد استفاده ذرت، غلاظت های مختلف ۵-آزاسیتیدین و اثرات متقابل آنها اختلاف معنی دار آماری برای صفات عمق دانه و تعداد بالل نشان ندادند (جدول ۲).

برنامه های اصلاحی در محصولات زراعی در ابتدا مرتبط با تنوع ژنتیکی بود. ولی واریانت های ابی ژنتیکی در محصولات زراعی ممکن است منبع دیگری برای اصلاح این محصولات فراهم کند. دستیابی به واریانت های ابی ژنتیکی دارای خصوصیات زراعی

مقایسه میانگین اثرات متقابل (جدول ۳) نشان داد که در ژنوتیپ $DH5 \times DH7$ ، سطح ۱۰۰ میکرومولار بیشترین تعداد ردیف دانه در بالل را تولید کرد در حالی که در ژنوتیپ ETMH-82 روند تغییرات متفاوت بود. به طوری که بیشترین تعداد ردیف دانه در بالل در غلاظت ۱۰ میکرومولار مشاهده شد. اثر ژنوتیپ و اثر غلاظت ۵-آزاسیتیدین در سطح ۱ درصد برای صفت تعداد دانه در هر ردیف بالل معنی دار گردید ولی اثرات متقابل ژنوتیپ × غلاظت ۵-آزاسیتیدین اختلاف معنی داری برای این صفت نشان ندادند (جدول ۲). به هر جهت در مقایسه میانگین اثرات متقابل برای این صفت با روش دانکن گروه بندی متفاوتی مشاهده شد و غلاظت ۱۰۰ میکرومولار ۵-آزاسیتیدین در ژنوتیپ ETMH-82 بیشترین تعداد دانه در ردیف بالل را در مقایسه با سایر تیمارها ایجاد کرد (جدول ۳). دو ژنوتیپ مورد استفاده، سطوح مختلف ۵-آزاسیتیدین و اثرات متقابل ژنوتیپ × ۵-آزاسیتیدین برای صفت وزن هزار دانه اختلاف معنی دار آماری در سطح ۱ درصد نشان دادند (جدول ۲). استفاده از سطوح ۱۰ و ۱۰۰ میکرومولار ۵-آزاسیتیدین در ژنوتیپ $DH5 \times DH7$ و غلاظت ۱۰۰ میکرومولار در ژنوتیپ ETMH-82 منجر به تولید بیشترین میزان وزن هزار دانه گردیدند (جدول ۳). دو ژنوتیپ مورد استفاده اختلاف معنی داری از نظر عملکرد بیولوژیک نشان ندادند ولی سطوح مختلف ۵-آزاسیتیدین در سطح ۱ درصد و اثرات متقابل ژنوتیپ × ۵-آزاسیتیدین در سطح ۵ درصد اختلاف آماری معنی داری نشان دادند (جدول ۲). استفاده از غلاظت ۱۰۰ میکرومولار ۵-آزاسیتیدین منجر به تولید بیشترین عملکرد بیولوژیک در هر دو ژنوتیپ گردید (جدول ۳). دو ژنوتیپ مورد استفاده ذرت برای صفت عملکرد دانه در سطح ۱ درصد و برای صفات شاخص برداشت بوته و درصد چوب بالل در سطح ۵ درصد اختلاف معنی دار آماری نشان دادند (جدول ۲). همچنین سطوح مختلف ۵-آزاسیتیدین و اثرات متقابل ژنوتیپ × غلاظت ماده ۵-آزاسیتیدین اختلاف معنی داری از نظر صفات عملکرد دانه، شاخص برداشت و درصد چوب بالل در سطح ۱ درصد نشان دادند (جدول ۲). مقایسه میانگین اثرات متقابل نشان داد که استفاده از سطوح ۵ و ۱۰۰ میکرومولار ۵-آزاسیتیدین در ژنوتیپ $DH5 \times DH7$ و همچنین غلاظت ۱۰۰ میکرومولار ۵-آزاسیتیدین در ژنوتیپ ETMH-82 بیشترین میزان عملکرد دانه را ایجاد کرده

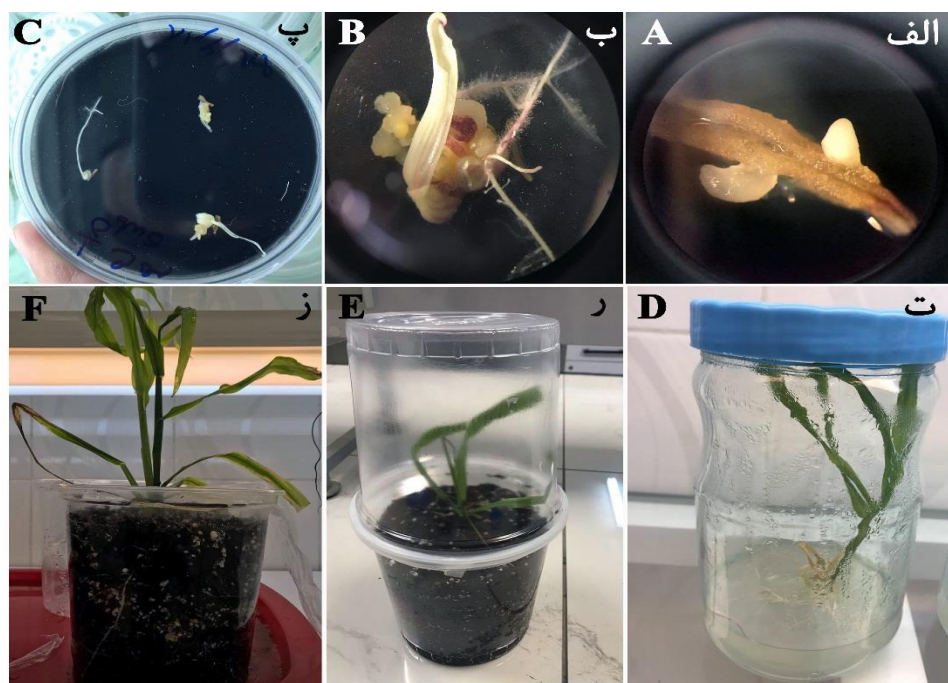
۵-آزاسیتیدین نه تنها زمان گلدهی را تحت تأثیر قرار داد بلکه اثرات ویژه‌ای روی عملکرد زایشی اسفناج داشت. به طوری که Li *et al.*, 2015 به صورت معنی‌داری در صد گیاهان یک‌پایه را افزایش داد (Tatra *et al.*, 2000). همچنین تیمار ۵-آزاسیتیدین منجر به تحریک طویل شدن ساقه در گیاه *Stellaria longipes* گردیده است (Kawakatsu *et al.*, 2017) که نشان دهنده این است که متیلاسیون DNA در تنظیم شکل گیاه نقش دارد. از آنجا که تصور می‌شود یکی از اصلی‌ترین اثرات متیلاسیون، سرکوب عناصر متحرک (ترانسپوزون) است و تحریک ترانسپوزون‌ها روی دامنه وسیعی از صفات، با مکانیسم‌های مختلف تأثیر می‌گذارد، اثرات ۵-آزاسیتیدین می‌توانند گستره باشد (Chen and Wang, 2011).

اثر پیش‌تیمار بذور ذرت با ۵-آزاسیتیدین روی میزان تولید روان و گیاهچه در کشت بساک دو ژنوتیپ ذرت: تجزیه واریانس اثر غلطات‌های مختلف ۵-آزاسیتیدین بر روی صفات میانگین تعداد رویان به‌ازای هر بساک و همچنین میانگین تعداد گیاهچه بازیابی شده به‌ازای هر بساک نشان داد که بین غلطات‌های مختلف ۵-آزاسیتیدین اختلاف معنی‌دار آماری در سطح ۱ درصد برای این دو صفت وجود دارد (جدول ۵). مقایسه میانگین غلطات‌های مختلف ۵-آزاسیتیدین نشان داد که تیمار بذور ذرت با ۵ میکرومولار ۵-آزاسیتیدین منجر به تشکیل بیشترین میانگین تعداد رویان (۰/۱۸۳۳) و گیاهچه به‌ازای هر بساک (۰/۰۶۷) در ژنوتیپ DH5 × DH7 در مقایسه با شاهد گردید (شکل ۲). در ژنوتیپ ETMH-82 چه در تیمارهای ۵-آزاسیتیدین و چه در تیمار شاهد هیچ گونه رویان و گیاهچه‌ای تشکیل نگردید که نشان می‌دهد القای آندروروژن در گیاه ذرت قبل از هر عاملی به‌شدت واپسی به ژنوتیپ است (Ismaili and Pour Mohammadi, 2016).

همان‌گونه که در شکل ۲ نشان داده شد، تیمار با ۵ میکرومولار ۵-آزاسیتیدین منجر به تشکیل بیشترین تعداد رویان و گیاهچه گردید در حالی که با افزایش غلطات ۵-آزاسیتیدین میزان تشکیل رویان و بازیابی گیاهچه به طور معنی‌داری کاهش پیدا کرد (شکل ۲).

بالقوه در چندین گونه گیاهی شامل سیب، برقع، هندوانه و گوجه‌فرنگی گزارش شده است. واریانت‌های اپی‌ژنتیکی دارای خصوصیات مطلوب زراعی می‌توانند از طریق تیمارهای شیمیابی از جمله در معرض قرارگیری با ۵-آزاسیتیدین (مهارت‌مند Munsamy *et al.*, 2013; Latuttrie *et al.*, 2019) در تطابق با نتایج تحقیق حاضر، بسیاری از محققین از بازدارنده‌های DNA مبتلی‌ترانسفراز جهت تیمار گیاهان با هدف به‌دست آوردن فنوتیپ‌های مختلف استفاده کرده‌اند (Fieldes and Amyot, 1999; Kondo *et al.*, 2006; Kumpatla and Hall, 1998; Li *et al.*, 2015; Tyunin *et al.*, 2012; Wang *et al.*, 2009) پیش‌تیمار بذور آراییدوبسیس با ۵۰ میکرومولار ۵-آزاسیتیدین منجر به افزایش معنی‌داری در زمان گل‌دهی گیاهان و همچنین کاهش معنی‌دار صفاتی مانند ارتفاع گیاه، تعداد انشعبات (شاخه‌ها)، میزان زیست توده و تعداد میوه می‌گردد (Bossdorf *et al.*, 2010). همچنین، در گندم استفاده از غلطات‌های پایین ۵-آزاسیتیدین، توانایی پنجه‌دهی را افزایش داد و صفات سنبله‌دهی، زمان گلدهی، وزن هزار دانه و شاخص‌های دیگر را به‌طور معنی‌داری تحت تأثیر قرار داد (Chen and Wang, 2011). در تحقیق اخیر، غلطات‌های بالای ۵-آزاسیتیدین از رشد ریشه‌ها و گیاهچه‌های گندم جلوگیری کرد (Chen and Wang, 2011).

سال ۱۹۹۳ برن و همکاران (Burn *et al.*, 1993) تیمارهای ۵-آزاسیتیدین را روی گیاه آراییدوبسیس اعمال کردند و به این نتیجه رسیدند که ۵-آزاسیتیدین می‌تواند جایگزین اثر درجه حرارت‌های پایین گردد و گلدهی زودهنگام را در گیاهان آراییدوبسیسی که نیاز به سرماده‌ی دارند، تحریک کند. به هر چهت، گیاهان آراییدوبسیس غیرحساس به سرماده‌ی به ماده ۵-آزاسیتیدین پاسخ ندادند که این نشان می‌دهد که سطوح کاهش یافته متیلاسیون می‌تواند به جای دمای پایین گلدهی گیاه را تحریک نماید. این اثر همچنین توسط روش‌های مشابهی در گونه‌های دیگر اثبات گردید (Kondo *et al.*, 2006, 2007). در گیاه گل داودی (*Chrysanthemum morifolium*), نیز تیمار ۵-آزاسیتیدین منجر به تغییراتی در زمان گلدهی گردید (Li *et al.*,



شکل ۱- الف: تشکیل ساختار شبه جنینی در کشت بساک ذرت در محیط کشت YPM؛ ب و پ: تشکیل ریشه‌چه و کالوس؛ ت: باززایی گیاهچه از ساختارهای شبه جنینی در محیط MS بدون هورمون؛ ر: انتقال گیاهچه‌های به گلدان‌های حاوی کوکوپیت و پرلیت در مرحله سازگاری؛ ز: گیاه هاپلولئید سازگار شده حاصل از کشت بساک ذرت

Figure 1. A: Formation of embryo-like structure in anther culture of maize in YPM culture medium; B and C: Root and callus formation; D: Plantlet regeneration from Embryo-Like Structures (ELSSs) in hormone-free MS medium; R: Transfer of plantlets to pots containing coco peat and perlite in the stage of adaptation and reduction of moisture; G: An acclimated haploid plant obtained from maize anther culture

D-2,4-د، باعث افزایش سطح متیلاسیون در کالوس‌ها گردید. با توجه به تحقیق سولیس و همکاران (Solís *et al.*, 2015)، استفاده از غلظت‌های کم و کوتاه‌مدت تیمار ۵-آزاسیتیدین در مراحل اولیه کشت، عامل مهمی برای دستتابی به اثرات مثبت این ماده از نظر راندمان جنین‌زاپی میکروسپور است. این محققین نشان دادند که استفاده از غلظت ۲/۵ میکرومول ۵-آزاسیتیدین به مدت چهار روز از زمان شروع کشت، یک تیمار مناسب برای القای فرآیند جنین‌زاپی در کشت‌های میکروسپور دو گونه کلزا و جو می‌باشد. این یافته‌ها نشان می‌دهد که با درک چگونگی تأثیر تغییرات متیلاسیون DNA بر سرنوشت رشد و نموی سلول‌ها در طول کشت‌های درون‌شیشه‌ای، می‌توان استراتژی‌های جدیدی را برای افزایش پتانسیل جنین‌زاپی و افزایش خاصیت توتی‌پوتنسی در گونه‌های گیاهی و ژنوتیپ‌هایی با پاسخ سخت به فرایندهای کشت‌بافتی ایجاد کرد (Osorio-Montalvo *et al.*, 2018).

افزایش اثرات سمی ۵-آزاسیتیدین با افزایش غلظت آن توسط بلچف و همکاران (Belchev *et al.*, 2004) نیز گزارش شده است. این محققین نشان دادند که ۵-آزاسیتیدین باعث هیپومتیلاسیون DNA و مهار فعالیت آنزیم متیل‌ترانسفراز می‌شود و آن‌ها افزایش القای کالوس (بیش از ۳۸ درصد) و باززایی گیاه (بیش از ۵۰ درصد) از کشت بساک‌های گندم را در غلظت‌های خاص در محدوده پیکومولار و نانومولار گزارش کردند. در مطالعه دیگری، لی و همکاران (Li *et al.*, 2001) اثرات ۵-آزاسیتیدین و اتیونین را بر القای کالوس از کشت میکروسپورهای جو مورد مطالعه قرار داده و نشان دادند که تولید کالوس و جنین از میکروسپورهای پیش‌تیمار شده با غلظت‌های مختلف ۵-آزاسیتیدین به مدت ۳ روز نسبت به شاهد چندین برابر بیشتر بوده است. در مطالعه مونسامی و همکاران (Munsamy *et al.*, 2013) مشخص گردید که ۵-آزاسیتیدین زنده‌مانی کالوس‌ها را در غلظت‌های ۵۰ و ۱۰۰ میکرومولار کاهش داد ولی استفاده از هورمون D-2,4-د در محیط تیمار منجر به کاهش اثرات سمی ۵-آزاسیتیدین گردید. همچنین وجود

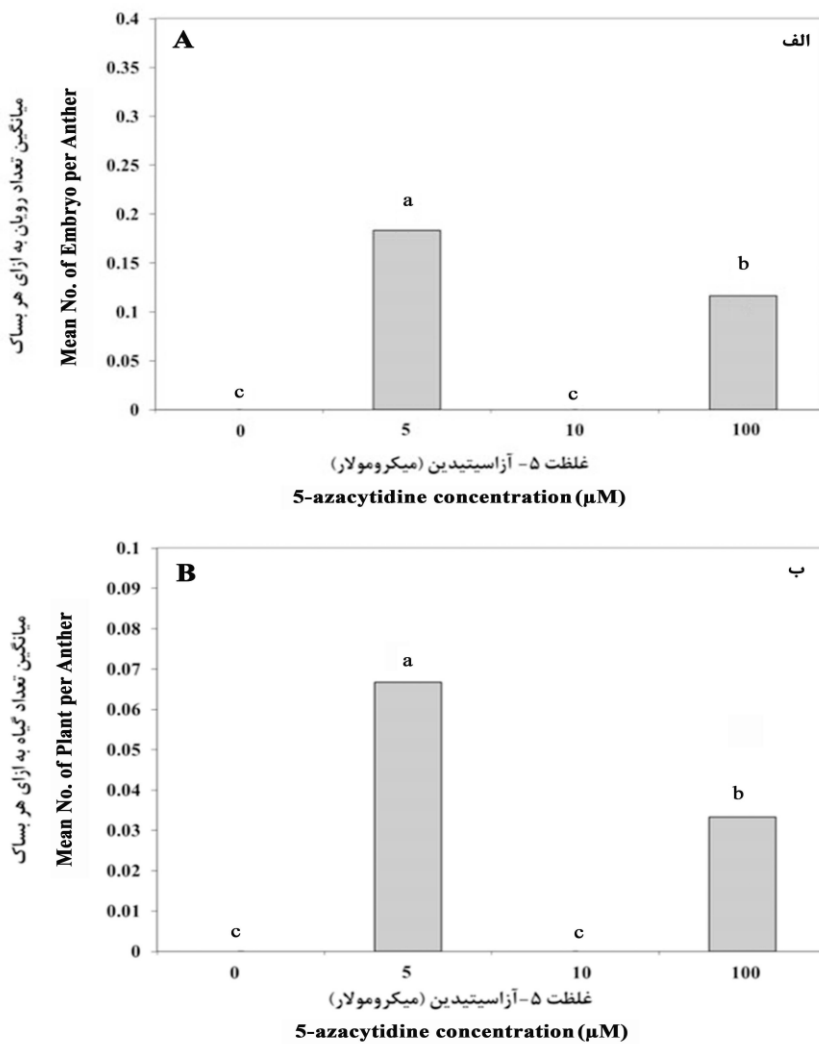
جدول ۵- تجربه واریانس برای اثر ژنتیک و غلظت‌های مختلف ۵-آزاسیتیدین بر روی صفات میانگین تعداد روبن و میانگین تعداد گیاه بازای هر بساک و بیان زن DNA میتل ترانسفراز در دو مرحله رشدی فرست

Table 5. Analysis of variance for effect of genotype and different concentrations of 5-azacytidine on mean number of embryos and mean number of plants per anther and expression of DNA methyltransferase gene in two growth stages of maize

| میانگین مربعات | Mean of squares | | | | | | | | | | | |
|-------------------------------|-----------------|------------|------------|----------|----------|----------|--------------------|---------|--------|---------|------------------|---------|
| | DHS × DH7 | | زن تیپ | | ETMH-82 | | DHS × DH7 genotype | | زن تیپ | | ETMH-82 genotype | |
| میانگین تعداد آزادی | DHS | DH7 | زن تیپ | ETMH-82 | زن تیپ | ETMH-82 | زن تیپ | ETMH-82 | زن تیپ | ETMH-82 | زن تیپ | ETMH-82 |
| میانگین تعداد آزادی | زن تیپ | زن تیپ | زن تیپ | زن تیپ | زن تیپ | زن تیپ | زن تیپ | زن تیپ | زن تیپ | زن تیپ | زن تیپ | زن تیپ |
| S.O.V | | | | | | | | | | | | |
| Df | | | | | | | | | | | | |
| بساک | | | | | | | | | | | | |
| Mean no. of embryo per anther | | | | | | | | | | | | |
| غلظت ۵-آزاسیتیدین | 3 | 0.024722** | 0.001398** | 49.721** | 149.43** | 388.32** | 408.5** | | | | | |
| خطای آزمایشی | 8 | 0.000417 | 0.000479 | 0.844 | 4.81 | 1.50 | 1.13 | | | | | |
| Error | | | | | | | | | | | | |
| Coefficient of variation (%) | | | | | | | | | | | | |
| ضریب تغیرات (%) | 27.22 | 3.02 | 9.17 | 14.58 | 8.87 | 12.90 | | | | | | |

* و **: ترتیب معنی‌دار در سطح احتمال ۵ و ۱ درصد

* and **: Significant at 5% and 1% levels of probability, respectively



شکل ۲- اثر غلظت‌های متفاوت ۵-آزاسیتیدین بر روی صفات آندروژنیز در کشت بساک ذرت، ژنوتیپ

Figure 2. Effect of different concentration of 5-azacytidine on the androgenesis traits in anther culture of maize, genotype of DH5 × DH7

الف: میانگین تعداد رویان به‌ازای هر بساک؛ ب: میانگین تعداد گیاه باززایی شده به‌ازای هر بساک

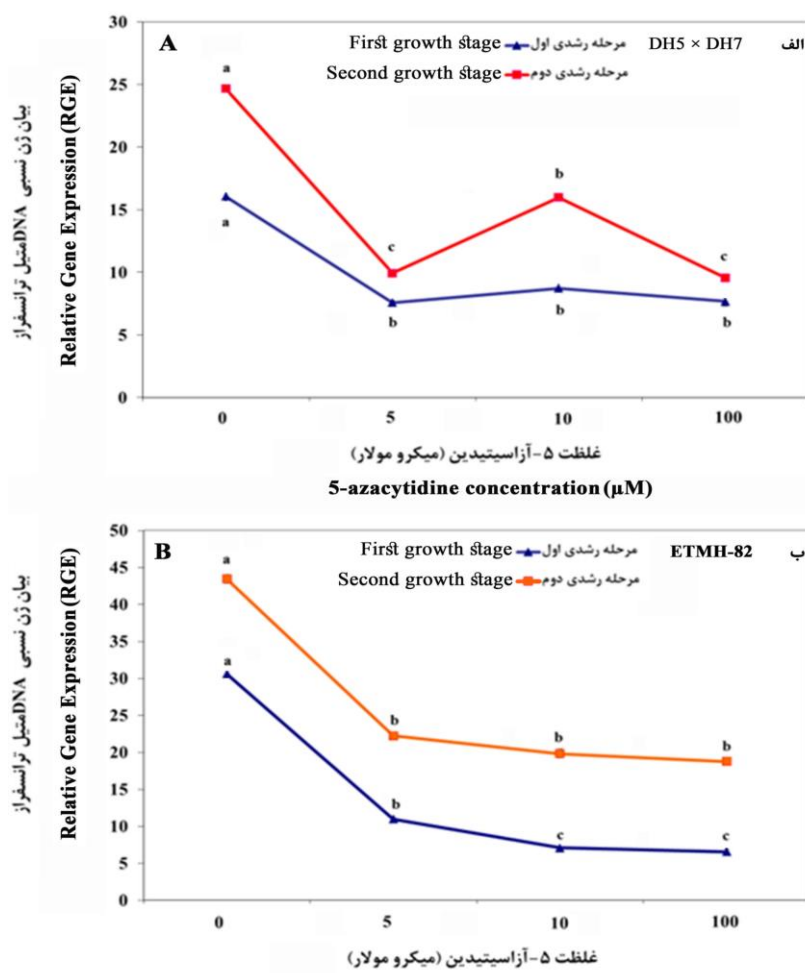
A: Mean number of embryos per anther; B: Mean number of regenerated plants per anther

متیل‌ترانسفراز در هر دو ژنوتیپ تا حدود بسیار زیادی مشابه و بهصورت کاهشی بود. میزان بیان نسبی ژن در تمامی غلظت‌های ۵-آزاسیتیدین در مرحله اول رشدی (۷ تا ۸ برگی) کمتر از مرحله دوم بود (شکل ۳ الف و ب). بیشترین میزان بیان ژن در تیمار شاهد مشاهده گردید و غلظت‌های مختلف ۵-آزاسیتیدین به‌طور مشابهی در هر دو ژنوتیپ کمترین بیان نسبی ژن را نشان دادند (شکل ۳ الف و ب)؛ بنابراین کاربرد ماده ۵-آزاسیتیدین به‌عنوان پیش‌تیمار بذور ذرت باعث کاهش معنی‌دار بیان نسبی ژن DNA متیل‌ترانسفراز گردید؛ که این کاهش بیان ژن DNA متیل‌ترانسفراز در ژنوتیپ DH5 × DH7 ممکن است منجر به بهبود الای آندروژنیز بهویشه در غلظت ۵ میکرومولار شده

اثر پیش‌تیمار بذور دو ژنوتیپ ذرت با ۵-آزاسیتیدین روی میزان بیان ژن DNA متیل‌ترانسفراز در دو مرحله رشدی: تجزیه واریانس اثر پیش‌تیمار بذور ذرت با غلظت‌های مختلف ۵-آزاسیتیدین روی صفت بیان ژن DNA متیل‌ترانسفراز در دو مرحله رشدی ذرت (۷ تا ۸ برگی) و مرحله برداشت گل‌های نر برای کشت بساک) برای دو ژنوتیپ ذرت مورد استفاده در این آزمایش به‌طور جداگانه انجام گردید. استفاده از غلظت‌های مختلف ۵-آزاسیتیدین در هر دو ژنوتیپ ذرت، اختلاف معنی‌داری در سطح ۱ درصد برای میزان بیان ژن DNA متیل‌ترانسفراز در هر دو مرحله رشدی نشان دادند (جدول ۵). همان‌طور که در شکل ۳ مشاهده می‌شود، روند تغییرات بیان ژن

همچنین محققین دیگر نشان دادند که تیمار کشت‌های میکروسپور کلزا با ماده ضدمتیلاسیون هیستون (Bix 01294) باعث کاهش معنی‌دار بیان ژن هیستون متیل‌ترانسفراز در میکروسپورهای جنبین‌زا در مقایسه با میکروسپورهای غیرجنبین‌زا گردید (Berenguer *et al.*, 2017). همچنین نتایج تحقیق حاضر نشان داد که علی‌رغم کاهش معنی‌دار بیان ژن DNA متیل‌ترانسفراز در غلظت‌های مختلف ۵-آزاسیتیدین در مقایسه با شاهد، این کاهش بیان ژن در مراحل اولیه رشدی بیشتر بود و با ادامه رشد گیاه این تغییر کاهشی در میزان متیلاسیون DNA کمی تعدیل شده است که نشانی از تغییر تنظیمات اپی‌ژنتیکی در طول رشد و نمو گیاه می‌باشد.

باشد در حالی که این کاهش بیان ژن DNA متیل‌ترانسفراز در ژنوتیپ ETHM-82 تأثیری بر القای آندروژن نداشت که این نتایج نشان می‌دهند که علاوه‌بر عوامل اپی‌ژنتیکی، عوامل ژنتیکی و نوع ژنوتیپ در القای آندروژن در کشت‌های بساک ذرت نقش مهمی دارند. در تطابق با نتایج تحقیق حاضر، کاربرد ۲/۵ میکرومولار ۵-آزاسیتیدین در کشت‌های میکروسپور کلزا و جو به طور معنی‌داری باعث افزایش القاء آندروژن در میکروسپورهای کشت شده گردید که این بهبود در القای آندروژن با کاهش معنی‌دار سطح متیلاسیون در این کشت‌ها همراه بود (Solís *et al.*, 2015).



شکل ۳- اثر غلظت‌های متفاوت ۵-آزاسیتیدین بر روی بیان ژن DNA متیل‌ترانسفراز در دو ژنوتیپ ذرت در دو مرحله رشدی گیاه ETHM-82 و DH5 × DH7؛ مراحله رشدی اول: مرحله ظهور تاسل‌ها؛ مراحله رشدی دوم: مرحله ۸-۷ برگی؛ ب: ژنوتیپ؛ A: DH5 × DH7 گیاهی؛ B: ETMH-82 گیاهی

First growth stage: 7-8 leaves; Second growth stage: emergence of tassels; A: DH5 × DH7 genotype; B: ETMH-82 genotype

سطوح این عوامل به طور مصنوعی می‌توان اقدام به تولید واریته‌های جدید ذرت با صفات بهبود یافته و همچنین بهبود فرآیندهای کشت‌بافتی مورد استفاده در برنامه‌های بهنژادی این گیاه از قبیل القاء آندروژنیز و رویان‌زایی گامتی نمود.

به طور کلی نتایج تحقیق حاضر نشان می‌دهد که تغییر در الگوی متیلاسیون DNA در گیاه ذرت با استفاده از ماده ۵-آزاسیتیدین می‌تواند نقش مهمی در کنترل صفات رشد و نموی و همچنین بهبود القاء آندروژنیز در این گیاه داشته باشد که با مطالعات بیشتر روی این عوامل اپیژنتیک و تغییر در

References

- Aulinger, I.E.** (2002). Combination of in vitro androgenesis and biolistic transformation: an approach for breeding transgenic maize (*Zea mays L.*) lines. Ph.D.Thesis, Swiss Federal Institute of Technology Zurich, Zurich, Switzerland.
- Barloy, D. and Beckert, M.** (1993). Improvement of regeneration ability of androgenetic embryos by early anther transfer in maize. *Plant Cell, Tissue and Organ Culture*, **33**: 45-50.
- Baulcombe, D.C. and Dean, C.** (2014). Epigenetic regulation in plant responses to the environment. *Cold Spring Harbor Perspectives in Biology*, **6(9)**: a019471.
- Belchev, I., Tchorbadjieva, M. and Pantchev, I.** (2004). Effect of 5-azacytidine on callus induction and plant regeneration potential in anther culture of wheat (*Triticum aestivum L.*). *Bulgarian Journal Plant Physiology*, **30(1-2)**: 45-50.
- Berenguer, E., Bárány, I., Solís, M.T., Pérez-Pérez, Y., Risueño, M.C. and Testillano, P.S.** (2017). Inhibition of histone H3K9 methylation by BIX-01294 promotes stress-induced microspore totipotency and enhances embryogenesis initiation. *Frontiers in Plant Science*, **8**: 1161.
- Biter, B.** (1997). *In vitro* haploid production in maize. Springer, Dordrecht, NT.
- Bossdorf, O., Arcuri, D., Richards, C.L. and Pigliucci, M.** (2010). Experimental alteration of DNA methylation affects the phenotypic plasticity of ecologically relevant traits in *Arabidopsis thaliana*. *Evolutionary Ecology*, **24**: 541-553.
- Burn, J.E., Bagnall, D.J., Metzger, J.D., Dennis, E.S. and Peacock, W.J.** (1993). DNA methylation, vernalization, and the initiation of flowering. *Proceedings of the National Academy of Sciences of the United States of America*, **90(1)**: 287-291.
- Chen, F. and Wang, Z.C.** (2011). Effects of 5-azaC on development and DNA methylation in wheat. *Journal of Henan University of Technology (Natural Science)*, **41(1)**: 61-66.
- Chuang, J.C. and Jones, P.A.** (2007). Epigenetics and microRNAs. *Pediatric Research*, **61(7)**: 24-29.
- El-Tantawy, A.A., Solís, M.T., Costa, M.L., Coimbra, S., Risueño, M.C. and Testillano, P.S.** (2013). Arabinogalactan protein profiles and distribution patterns during microspore embryogenesis and pollen development in *Brassica napus*. *Plant Reproduction*, **26(3)**: 231-243.
- Fieldes, M.A. and Amyot, L.M.** (1999). Epigenetic control of early flowering in flax lines induced by 5-azacytidine applied to germinating seed. *Journal of Heredity*, **90(1)**: 199-206.
- Finnegan, E.J., Peacock, W.J. and Dennis, E.S.** (2000). DNA methylation, a key regulator of plant development and other processes. *Current Opinion in Genetics and Development*, **10(2)**: 217-223.
- Friedman, S.** (1981). The inhibition of DNA (Cytosine-5) methylases by 5-azacytidine: the effect of azacytosine-containing DNA. *Molecular Pharmaceutics*, **19**: 314-20.
- Heo, J.B., Lee, Y.S. and Sung, S.** (2013). Epigenetic regulation by long noncoding RNAs in plants. *Chromosome Research*, **21(6-7)**: 685-693.
- Ismaili, A. and Pour Mohammadi, P.** (2016). Effect of genotype, induction medium, carbohydrate source, and polyethylene glycol on embryogenesis in maize (*Zea mays L.*) anther culture. *Acta Physiologiae Plantarum*, **38(3)**: 1-8.
- Kawakatsu, T., Nery, J.R., Castanon, R. and Ecker, J.R.** (2017). Dynamic DNA methylation reconfiguration during seed development and germination. *Genome Biology*, **18**: 171.
- Kohler, C. and Villar, C.B.** (2008). Programming of gene expression by Polycomb group proteins. *Trends in Cell Biology*, **18(5)**: 236-243.
- Kondo, H., Miura, T., Wada, K.C. and Takeno, K.** (2007). Induction of flowering by 5-azacytidine in some plant species: Relationship between the stability of photoperiodically induced flowering and flower-inducing effect of DNA demethylation. *Physiologia Plantarum*, **131(3)**: 462-469.

- Kondo, H., Ozaki, H., Itoh, K., Kato, A. and Takeno, K. (2006). Flowering induced by 5-azacytidine, a DNA demethylating reagent in a short-day plant, *Perilla frutescens* var. *crispa*. *Physiologia Plantarum*, **127**(1): 130-137.
- Kumpatla, S.P. and Hall, T.C. (1998). Longevity of 5-azacytidine-mediated gene expression and re-establishment of silencing in transgenic rice. *Plant Molecular Biology*, **38**(6): 1113-1122.
- Latutrie, M., Gourcilleau, D. and Pujol, B. (2019). Epigenetic variation for agronomic improvement: an opportunity for vegetatively propagated crops. *American Journal of Botany*, **106**(10): 1281.
- Li, S.F., Zhang, G.J., Yuan, J.H., Deng, C.L., Lu, L.D. and Gao, W.J. (2015). Effect of 5-azaC on the growth, flowering time and sexual phenotype of spinach. *Russian Journal of Plant Physiology*, **62**(5): 670-675.
- Li, W.Z., Song, Z.H., Guo, B.T. and Xu, L.J. (2001). The effects of DNA hypomethylating drugs on androgenesis in barley (*Hordeum vulgare* L.). *In Vitro Cellular & Developmental Biology-Plant*, **37**(5): 605-608.
- Li, Z.A., Li, J., Zhu, Q.Q., Liu, Y.H. and Wang, Z.C. (2017). Effect of external 5-azaC on physiology and DNA methylation and gene-expression of Chrysanthemum. *Journal of Henan University of Technology (Natural Science)*, **47**(2): 162-169.
- Meijón, M., Feito, I., Valledor, L., Rodríguez, R. and Cañal, M.J. (2010). Dynamics of DNA methylation and histone H4 acetylation during floral bud differentiation in azalea. *BMC Plant Biology*, **10**(1): 1-14.
- Munsamy, A., Rutherford, R.S., Snyman, S. and Watt, M.P. (2013). 5-Azacytidine as a tool to induce somaclonal variants with useful traits in sugarcane (*Saccharum* spp.). *Plant Biotechnology Reports*, **7**(4): 489-502.
- Nageli, M., Schmid, J.E., Stamp, P. and Biter, B. (1999). Improved formation of regenerable callus in isolated microspore culture of maize: impact of carbohydrates, plating density and time of transfer. *Plant Cell Reports*, **19**(2): 177-184.
- Qian, Y., Xi, Y., Cheng, B. and Zhu, S. (2014). Genome-wide identification and expression profiling of DNA methyltransferase gene family in maize. *Plant Cell Reports*, **33**(10): 1661-1672.
- Osorio-Montalvo, P., Sáenz-Carbonell, L. and De-la-Peña, C. (2018). 5-azacytidine: a promoter of epigenetic changes in the quest to improve plant somatic embryogenesis. *International Journal of Molecular Sciences*, **19**(10): 3182.
- Pecinka, A. and Liu, C.H. (2014). Drugs for plant chromosome and chromatin research. *Cytogenetic and Genome Research*, **143**(1-3): 51-59.
- Pfaffl, M.W., Horgan, G.W. and Dempfle, L. (2002). Relative expression software tool (REST[©]) for group-wise comparison and statistical analysis of relative expression results in real-time PCR. *Nucleic Acids Research*, **30**(9): e36.
- Shugar, L. (1998). *Application of Doubled-Haploid Systems*. Hyland seeds, W.G. Thomson and Sons Limited-Narin, Ontario, CA.
- Solís, M.T., El-Tantawy, A.A., Cano, V., Risueño, M.C. and Testillano, P.S. (2015). 5-azacytidine promotes microspore embryogenesis initiation by decreasing global DNA methylation, but prevents subsequent embryo development in rapeseed and barley. *Frontiers in Plant Science*, **6**: 472.
- Tatra, G.S., Miranda, J., Chinnappa, C.C. and Reid, D.M. (2000). Effect of light quality and 5-azacytidine on genomic methylation and stem elongation in two ecotypes of *Stellaria longipes*. *Physiologia Plantarum*, **109**(3): 313-321.
- Testillano, P.S., Solís, M.T. and Risueño, M.C. (2013). The 5-Methyl-Deoxy-Cytidine (5mdc) localization to reveal in situ the dynamics of DNA methylation chromatin pattern in a variety of plant organ and tissue cells during development. *Physiologia Plantarum*, **149**: 104-113.
- Teyssier, C., Maury, S., Beaufour, M., Grondin, C., Delaunay, A. and Le Mette, C. (2014). In search of markers for somatic embryo maturation in hybrid larch (*Larix X Eurolepis*): global DNA methylation and proteomic analyses. *Physiologia Plantarum*, **150**: 271-291.
- Touraev, A., Brian, P. and Mohan, S. (2009). *Advances in Haploid Production in Higher Plants*. Springer Science, Dordrecht, NT.
- Tyunin, A.P., Kiselev, K.V. and Zhuravlev, Y.N. (2012). Effects of 5-azacytidine induced DNA demethylation on methyltransferase gene expression and resveratrol production in cell cultures of *Vitis amurensis*. *Plant Cell Tissue and Organ Culture*, **111**(1): 91-100.
- Wang, Z.C., Nie, L.J. and He, Y.X. (2009). The effect of 5-azacytidine to the DNA methylation and morphogenesis character of Chrysanthemum during In vitro growth. *Acta Horticulturae Sinica*, **36**(12): 1783-1790.
- Zhu, Q.Q. (2014). Effect of 5-azaC on DNA methylation and gene-expression of chrysanthemum. Master Thesis. Henan University, Kaifeng, Henan, China.

Study of the Effect of 5-Azacytidine as a DNA Demethylating Agent on Agronomic Traits, Androgenesis Induction via Anther Culture and DNA-Methyltransferase Gene Expression in Maize (*Zea mays L.*) Leaf Tissue

Razieh Azizian Mosleh¹, Mohammad Reza Abdollahi^{2,*}, Payam Pour Mohammadi³, Hassan Sarikhani⁴ and Asghar Mirzaie-Asl⁵

1-Ph.D. Student, Department of Agronomy and Plant Breeding, Faculty of Agriculture, Bu-Ali Sina University, Hamedan, Iran

2-Associate Professor, Department of Agronomy and Plant Breeding, Faculty of Agriculture, Bu-Ali Sina University, Hamedan, Iran

3- Assistant Professor, Department of Plant Production and Genetic, Faculty of Agriculture, University of Agriculture and Natural Resources, Ahvaz, Iran

4- Associate Professor, Department of Horticultural Sciences, Faculty of Agriculture, Bu-Ali Sina University, Hamedan, Iran

5-Associate Professor, Department of Agriculture Biotechnology, Faculty of Agriculture, Bu-Ali Sina University, Hamedan, Iran

(Received: December 22, 2020 – Accepted: March 7, 2021)

Abstract

Optimization of *in vitro* methods for the production of maize double haploids plays an important role in the breeding programs of this plant. In this study, the effects of 5-azacytidine on agronomic traits, androgenesis induction efficiency and also, DNA methyltransferase gene expression (AF229183.1) in two growth stages of maize were investigated. This experiment was performed as factorial based on a completely randomized block design with three replications. Two maize genotypes (DH5 × DH7 and ETMH-82) were considered as the first factor and treatment of maize seeds with 5-azacytidine (0, 5, 10, and 100 µM) was considered as the second factor. The maize seeds were sowed in the field and during the growth stages, various morphological and agronomic traits were recorded. In the anther culture experiment, the suitable anthers containing microspores at mid to late-uninucleate stages were selected and cultured in an YPM culture medium containing 1 mg/l 2, 4-D, and 2 mg/l BAP. Interaction effects of genotype and 5-azacytidine concentrations showed significant differences for the majority of studied traits except for number of kernel per ear row, kernel depth, plant diameter, number of leaves and number of ears. The highest amounts of 1000-kernel weight were obtained with treatments of 10 and 100 µM and the highest ones for grain yield and biological yield traits were obtained with 100 µM 5-azacytidine treatment for both genotypes. Seeds of DH5 × DH7 genotype treated with 5 µM 5-azacYtidine produced the highest mean number of embryo-like structures (0.1833) and regenerated plantlets (0.067) per each anther. Relative expression of DNA methyltransferase gene in maize seeds treated with different concentrations of 5-azacytidine showed a significant decrease in both genotypes and both growth stages compared to control plants (treated with 0 µM 5-azacytidine), that this decrease in gene expression could lead to improved androgenesis induction in anther culture of DH5 × DH7 genotype. However, despite the decrease in expression of this gene in two growth stages of ETMH-82 genotype, androgenesis induction was not observed in this genotype. The results of the present study can help to determine the role of epigenetic factors in androgenesis induction and improving the production of haploid plants in maize.

Keywords: Androgenesis, 5-Azacytidine, DNA methyltransferase, Maize, Anther culture, Haploid plant

* Corresponding Author, E-mail: m.abdollahi@basu.ac.ir